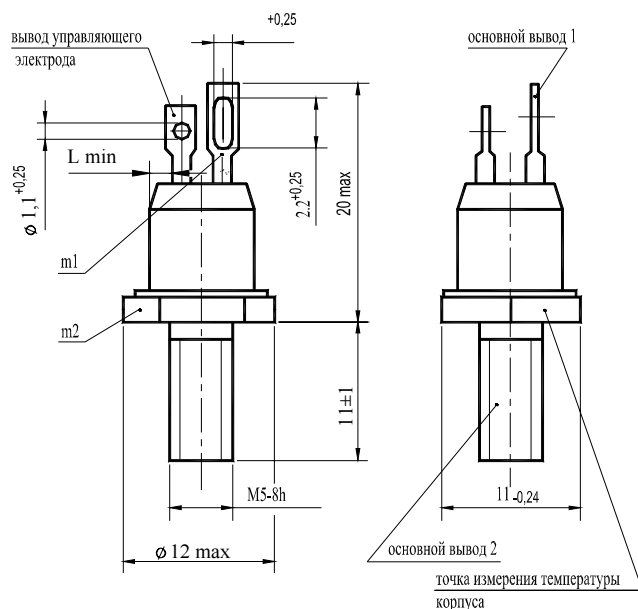


ТРИАКИ

TC112-10, TC112-16



Конструкция триаков



m_1, m_2 - контрольные точки измерения импульсного напряжения в открытом состоянии;
 $L_{\min} = 1,6$ мм - длина пути для тока утечки между основным выводом 2 и выводом управляющего электрода.

Масса триака не более 6 г.

Тепловые параметры

Параметр	Наименование, единица измерения	Тип триака		Условия установления норм на параметры
		TC112-10	TC112-16	
T_{jm}	Максимально допустимая температура перехода, °C	125		
T_{jmin}	Минимально допустимая температура перехода, °C	минус 50 (минус 60 для УХЛ2.1)		
T_{stgm}	Максимально допустимая температура хранения, °C	50 (60 для Т3 и ОМ2.1)		
$T_{stg\ min}$	Минимально допустимая температура хранения, °C	минус 50 (минус 60 для УХЛ2.1)		
R_{thjc}	Тепловое сопротивление переход-корпус, °C/Bт	2,50	1,55	Постоянный ток
R_{thch}	Тепловое сопротивление контакта корпус-охладитель, °C/Bт	0,2		Естественное охлаждение, Охладитель О111.
R_{thja}	Тепловое сопротивление переход-среда (с охладителем), °C/Bт	8,30	7,35	Постоянный ток.

Параметры закрытого состояния

Обозначение параметра	Наименование, единица измерения	Тип триака		Условия установления норм на параметры
		TC112-10	TC112-16	
U_{DRM}	Повторяющееся импульсное напряжение в закрытом состоянии, В, для класса: 1 2 4 5 6 8 9 10 11 12		100 200 400 500 600 800 900 1000 1100 1200	$T_j = 25^\circ\text{C}$, $T_{jm} = 125^\circ\text{C}$, напряжение синусоидальное, $f = 50 \text{ Гц}$
U_{DSM}	Неповторяющееся импульсное напряжение в закрытом состоянии, В, для класса: 1 2 4 5 6 8 9 10 11 12		110 220 450 560 670 890 1000 1100 1200 1300	$T_j = 25^\circ\text{C}$, $T_{jm} = 125^\circ\text{C}$, импульс напряжения синусоидальный одиночный, $t_i = 10 \text{ мс}$ (в каждом направлении)
U_D	Постоянное напряжение в закрытом состоянии, В		$0,6U_{DRM}$	$T_c = 85^\circ\text{C}$
U_{DWM}	Импульсное рабочее напряжение в закрытом состоянии, В		$0,8U_{DRM}$	$T_{jm} = 125^\circ\text{C}$, напряжение синусоидальное $f = 50 \text{ Гц}$
$(dU_D/dt)_{com}$	Критическая скорость нарастания коммутационного напряжения, В/мкс, не менее для группы: 0 1 2 3 4 5 6 7		не нормируется , но не менее 1 2,5 4,0 6,3 10 16 25 -	$T_{jm} = 125^\circ\text{C}$, $I_T = I_{TRMS}$. Ток однополупериодный, синусоидальный. $t_i = 10 \text{ мс}$, $U_D = 0,67U_{DRM}$. Фронт напряжения в закрытом состоянии - линейный. Длительность напряжения в закрытом состоянии не более 250 мкс. Импульс источника управления: форма -экспоненциальная, амплитуда не более 50 В, длительность 50-200 мкс, длительность фронта импульса не более 1 мкс, сопротивление цепи управления - не более 50 Ом
I_{DRM}	Повторяющийся импульсный ток в закрытом состоянии, мА, не более		1,7	$T_j = 25^\circ\text{C}$
			3,0	$T_{jm} = 125^\circ\text{C}$

• • • • • ТРИАКИ ШТЫРЕВОЙ КОНСТРУКЦИИ • • • • •

Параметры открытого состояния

Обозначение параметра	Наименование, единица измерения	Тип триака		Условия установления норм на параметры
		TC112-10	TC112-16	
I_{TRMS}	Максимально допустимый действующий ток в открытом состоянии, А	10	16	$T_c = 85^\circ\text{C}$, $f = 50 \text{ Гц}$
I_{TSM}	Ударный ток в открытом состоянии, А, не менее	70	100	$T_j = 25^\circ\text{C}$ Импульс тока синусоидальный, одиночный, длительность 20 мс
U_{TM}	Импульсное напряжение в открытом состоянии, В, не более	1,85		$T_j = 25^\circ\text{C}$, $I_T = 1,41I_{TRMS}$
$U_{T(TO)}$	Пороговое напряжение в открытом состоянии, В	1,2		$T_{jm} = 125^\circ\text{C}$
r_T	Динамическое сопротивление в открытом состоянии, Ом	0,046	0,029	$T_{jm} = 125^\circ\text{C}$
I_H	Ток удержания, мА, не более	45		$T_j = 25^\circ\text{C}$, $U_D = 12 \text{ В}$
I_L	Ток включения, мА, не более	60		$T_j = 25^\circ\text{C}$, $U_D = 12 \text{ В}$ Импульс тока источника управления: форма прямоугольная, амплитуда $I_G = 3I_{GT}$, длительность фронта нарастания - 1 мкс, длительность импульса $t_G = 50 \text{ мкс}$, сопротивление источника управления $\leq 30 \text{ Ом}$
I_{TRMS}	Действующий ток в открытом состоянии, А	7	8	$T_a = 40^\circ\text{C}$, естественное охлаждение, охладитель О111

Параметры переключения

Параметр	Наименование, единица измерения	Тип триака		Условия установления норм на параметры
		TC112-10	TC112-16	
$(di_T/dt)_{crit}$	Критическая скорость нарастания тока в открытом состоянии, А/мкс, не менее	50		$T_{jm} = 125^\circ\text{C}$, $U_D = 0,67U_{DRM}$, $I_T = 2I_{TRMS}$ Импульс тока синусоидальный, однополупериодный, $f = 1-5 \text{ Гц}$ Режим цепи управления: форма трапецидальная, длительность импульса тока $t_G \geq 50 \text{ мкс}$, амплитуда $I_{FG} = 3I_{GT}$, длительность фронта - 1 мкс Внутреннее сопротивление источника управления не более 20 Ом
t_{gt}	Время включения по управлению, мкс, не более	12		$T_j = 25^\circ\text{C}$, $U_D = 100 \text{ В}$, $I_T = I_{TRMS}$, Импульс тока источника управления: форма прямоугольная, амплитуда -1 А, длительность фронта нарастания - 1 мкс, длительность импульса $t_G = 50 \text{ мкс}$
t_{gd}	Время задержки по управлению, мкс, не более	4		

Параметры управления

Обозначение параметра	Наименование, единица измерения	Тип триака		Условия установления норм на параметры
		TC112-10	TC112-16	
I_{GT}	Отпирающий постоянный ток управления, мА, не более	100		$T_j = 25^\circ\text{C}, U_D = 12 \text{ В}$
		460		$T_j = \text{минус } 50^\circ\text{C}, U_D = 12 \text{ В}$
		600		$T_j = \text{минус } 60^\circ\text{C}, U_D = 12 \text{ В}$
U_{GT}	Отпирающеее постоянное напряжение управления, В, не более	2,0		$T_j = 25^\circ\text{C}, U_D = 12 \text{ В}$
		4,0		$T_j = \text{минус } 50^\circ\text{C}, U_D = 12 \text{ В}$
		4,6		$T_j = \text{минус } 60^\circ\text{C}, U_D = 12 \text{ В}$
U_{GD}	Неотпирающеее постоянное напряжение управления, В, не менее	0,25		$T_{jm} = 125^\circ\text{C}, U_D = 0,67U_{DRM}$

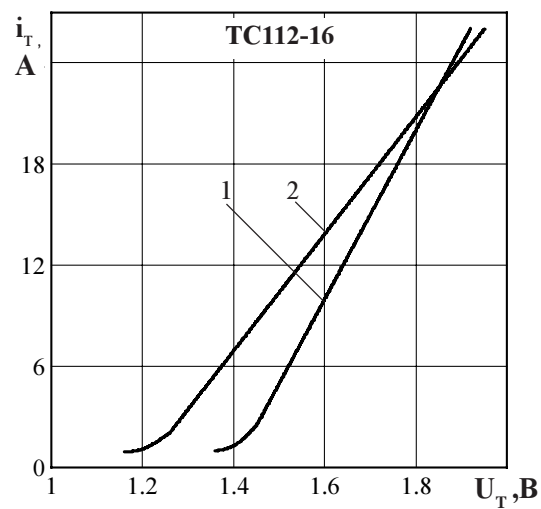
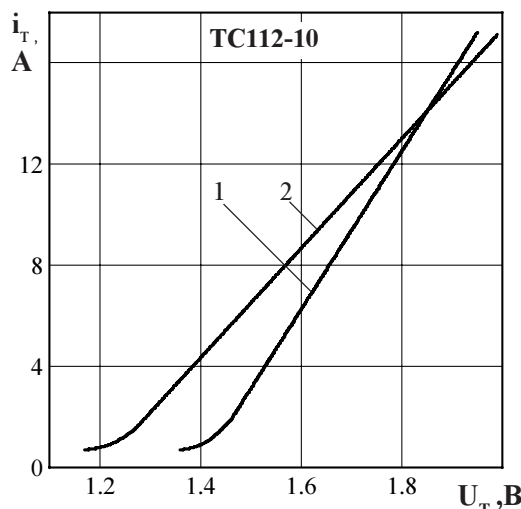


Рисунок 1 - Пределная вольтамперная характеристика в открытом состоянии при температуре перехода 25°C (1) и максимальной температуре перехода T_{jm} (2)

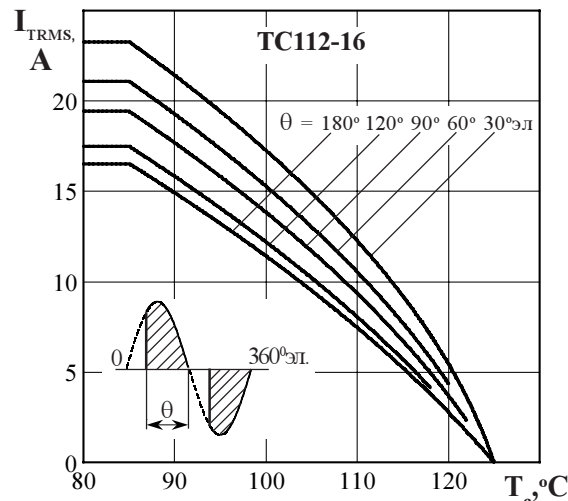
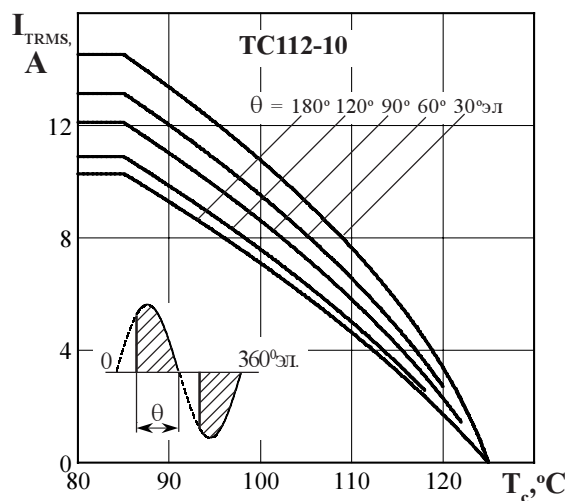


Рисунок 2 - Зависимость допустимого действующего тока в открытом состоянии I_{TRMS} от температуры корпуса T_c для токов синусоидальной формы частотой $f = 50 \text{ Гц}$

••••• ТРИАКИ ШТЫРЕВОЙ КОНСТРУКЦИИ •••••

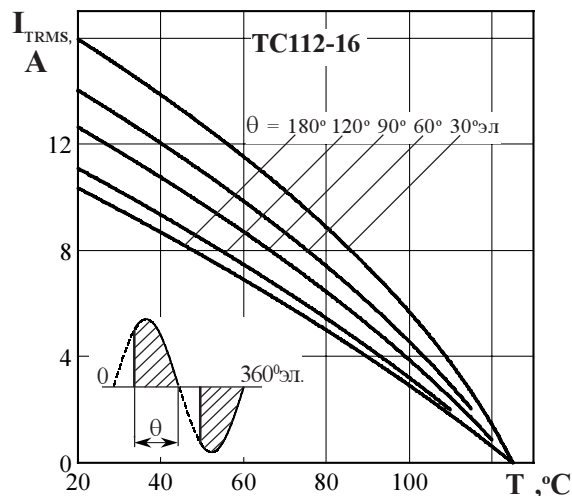
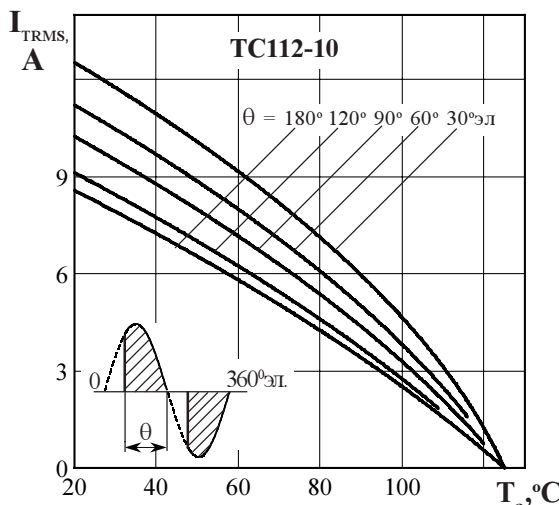


Рисунок 3 - Зависимость допустимого действующего тока в открытом состоянии I_{TRMS} от температуры окружающей среды T_a при естественном охлаждении на типовом охладителе при различных углах проводимости для токов синусоидальной формы частотой $f = 50$ Гц

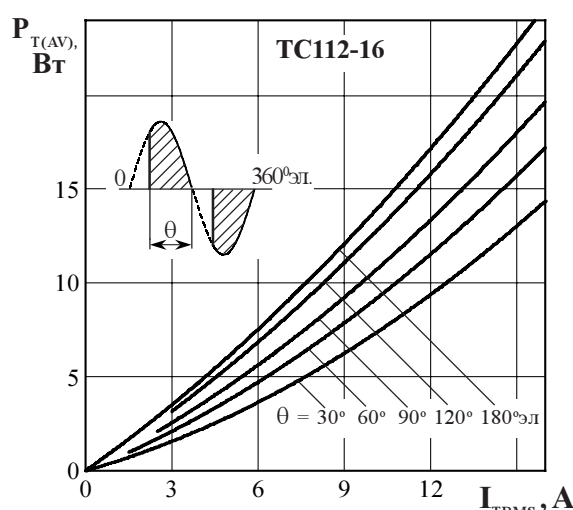
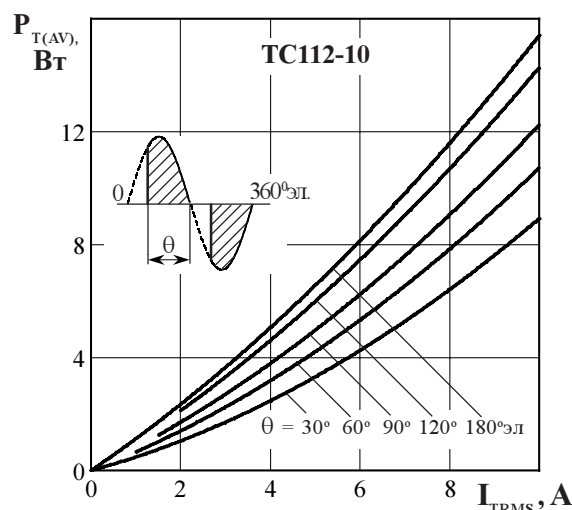


Рисунок 4 - Зависимость средней мощности потерь $P_{T(\text{AV})}$ от действующего значения тока I_{TRMS} в открытом состоянии синусоидальной формы частотой $f = 50$ Гц

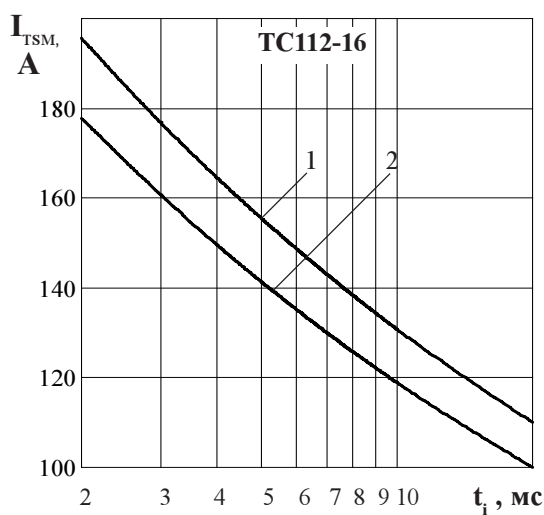
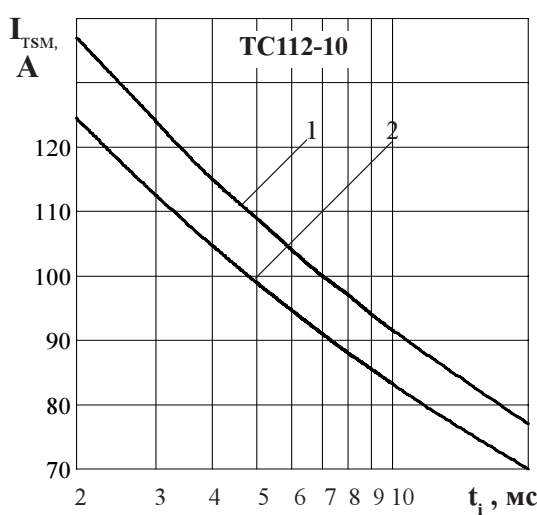


Рисунок 5 - Зависимость допустимой амплитуды ударного тока в открытом состоянии I_{TSM} от длительности импульса тока t_i при исходной температуре структуры $T_j = 25$ °C (1) и максимальной температуре T_{jm} (2)

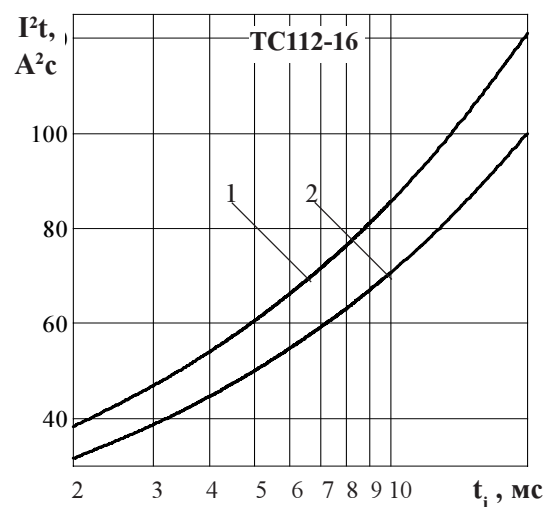
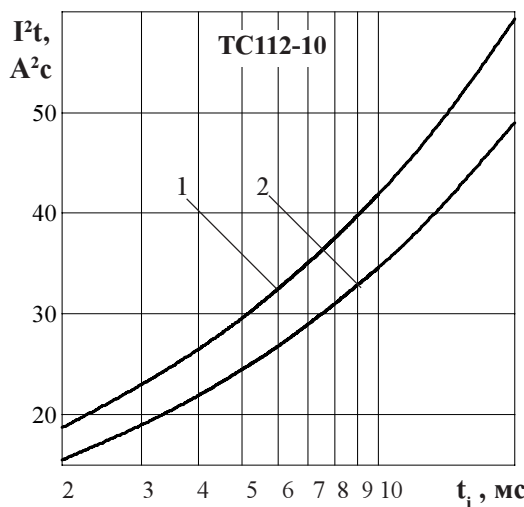


Рисунок 6 - Зависимость защитного показателя I^2t от длительности импульса тока t_i при исходной температуре структуры $T_j = 25^\circ\text{C}$ (1) и максимальной температуре T_{jm} (2)

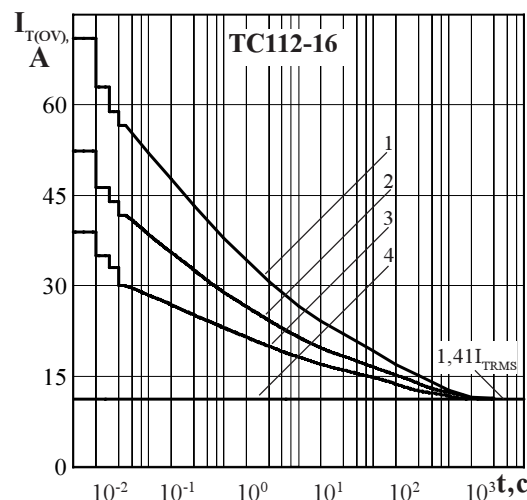
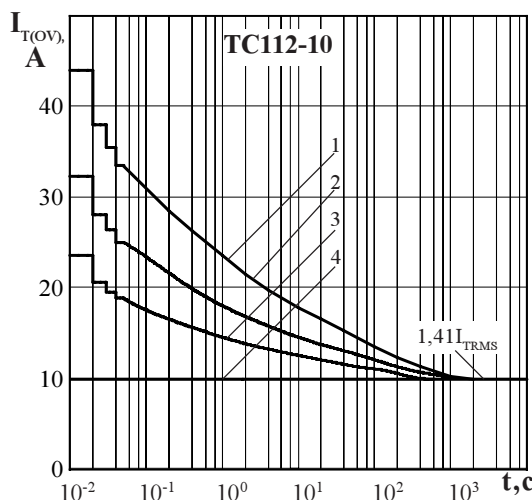


Рисунок 7 - Зависимость допустимой амплитуды тока перегрузки в открытом состоянии $I_{T(OV)}$ синусоидальной формы частотой $f = 50$ Гц от длительности перегрузки t при естественном охлаждении на типовом охладителе при отношении тока, предшествующего перегрузке, I_T к максимально допустимому действующему току триака I_{TRMS} равному $k = I_T/I_{TRMS}$; $k = 0$ (1); 0,5 (2); 0,75 (3); 1,0 (4).

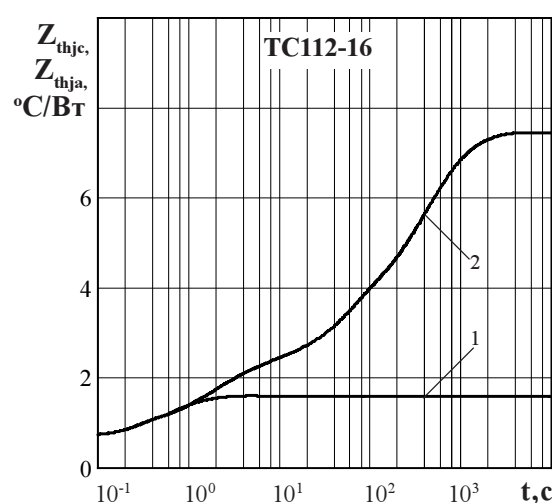
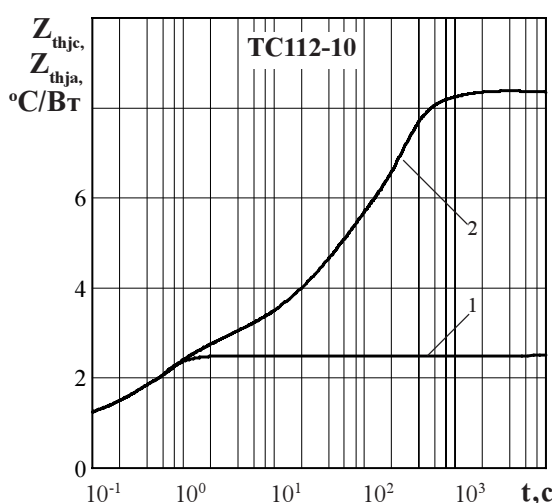
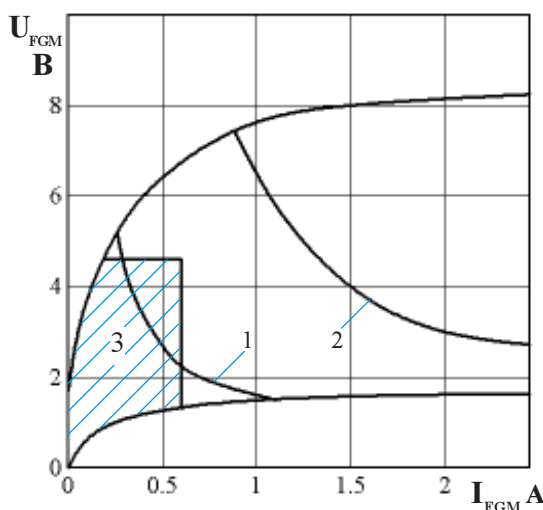


Рисунок 8 - Зависимость переходного теплового сопротивления переход - корпус Z_{thjc} (1) и переход- среда Z_{thja} (2) от времени t при естественном охлаждении на типовом охладителе при температуре окружающей среды $T_a = 40^\circ\text{C}$.

••••• ТРИАКИ ШТЫРЕВОЙ КОНСТРУКЦИИ •••••



Позиция на рисунке	Скважность, K	Длительность импульса управления t_g , мс	Допустимая импульсная мощность, P_{GM} , Вт
1	2	5	1,3
2	10	1	6,2

3 - область негарантированного отпирания триака при $T_{j\min} = \text{минус } 60^{\circ}\text{C}$

Рисунок 9 - Предельные характеристики цепи управления

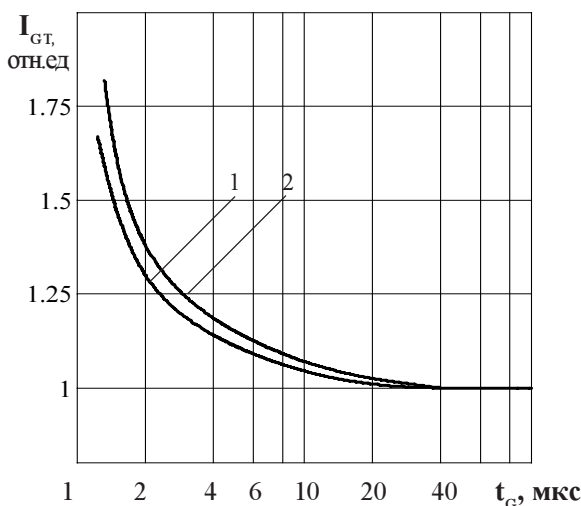


Рисунок 10 - Зависимость отпирающего импульсного тока управления I_{GT} от длительности управляющего импульса t_g при температуре перехода $T_j = 25^{\circ}\text{C}$ (1), $T_{j\min} = \text{минус } 50^{\circ}\text{C}$ (2) и напряжения в закрытом состоянии $U_D = 12\text{ V}$.

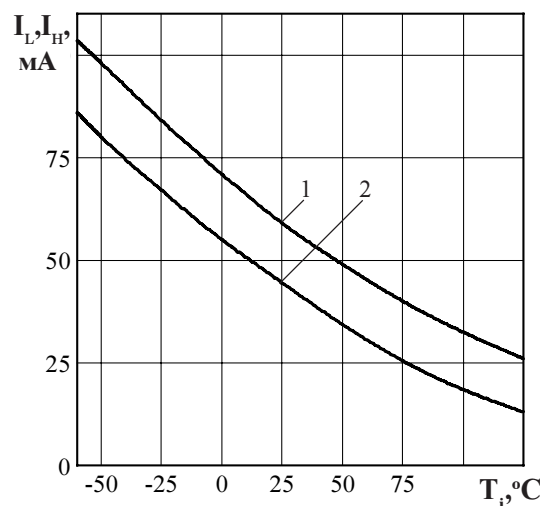


Рисунок 11 - Зависимость тока удержания I_H (1) и тока включения I_L (2) от температуры перехода T_j .

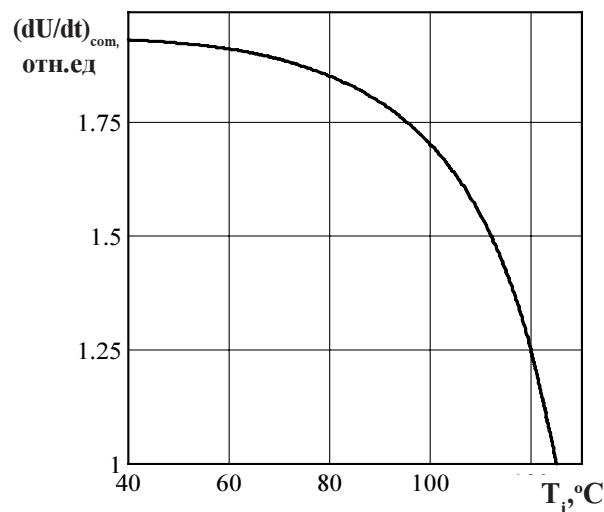


Рисунок 12 - Зависимость критической скорости нарастания коммутационного напряжения $(dU_d/dt)_{com}$ (отн.ед.) от температуры структуры T_j С при $I_T = I_{TRMS}$, $t_i = 10\text{ мс}$.

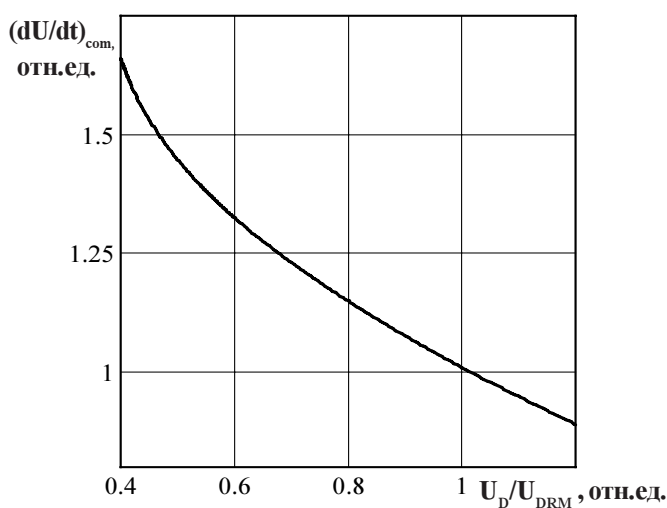


Рисунок 13 - Зависимость критической скорости нарастания коммутационного напряжения $(dU_d/dt)_{com}$ (отн.ед.) от величины приложенного напряжения U_d/U_{DRM} (отн.ед.) при $I_T = I_{TRMS}$, $T_j = 125^{\circ}\text{C}$, $t_i = 10\text{ мс}$.

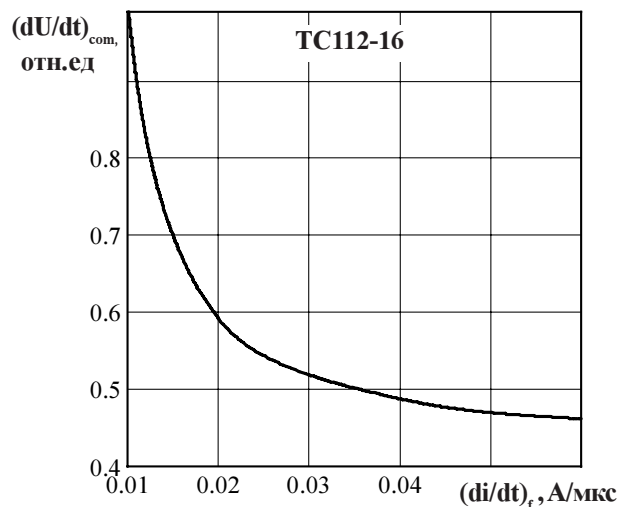
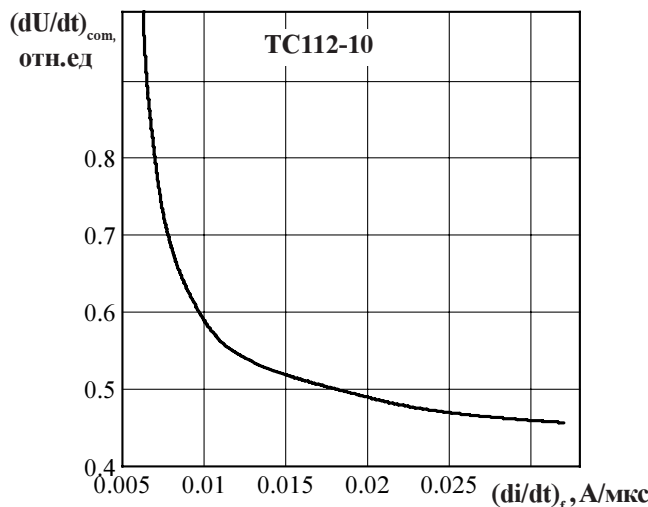


Рисунок 14 - Зависимость критической величины скорости нарастания коммутационного напряжения $(dU/dt)_{com}$ от скорости спада предшествующего тока в открытом состоянии $(di_T/dt)_f$ при амплитуде предшествующего тока в открытом состоянии $I_T = I_{TRSM}$ и максимально допустимой температуре перехода T_{jm} .

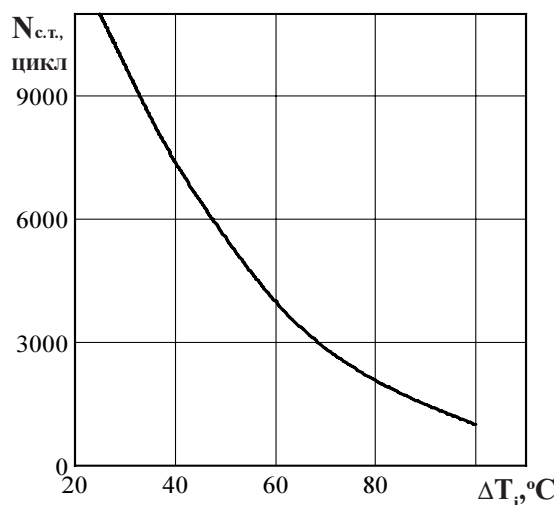


Рисунок 15 - Зависимость допустимого числа циклов $N_{c.t.}$ от перепада температуры структуры ΔT_j при циклической токовой нагрузке.